

# Лабораторная работа

## ИЗУЧЕНИЕ ЭЛЕКТРОМАГНИТНЫХ РЕЛЕ

**Цель работы:** Изучение конструкции и принципа действия электромагнитных реле, а также определение их основных параметров и характеристик.

**Оборудование и приборы:** различные виды реле, стенд для проведения исследований

### 4.1. Общие сведения

Любой технологический процесс сопровождается операциями включения, выключения, переключения различных агрегатов, оборудования и т.п., то есть осуществляется их *коммутация*. В качестве коммутирующих устройств используют переключатели и так называемые *релейные устройства*, или просто *реле* [7].

Основным свойством релейных устройств является способность *скачкообразно* изменять выходную величину при достижении входной величиной некоторого определенного значения - *порога срабатывания*.

Обычно реле классифицируют по физической природе источника энергии: электрические, гидравлические, пневматические и др., а также по физической величине, на которую они реагируют: тепловые, реле тока, времени и т.п.

Наиболее распространеными из электрических реле являются электромагнитные.

Электромагнитные реле могут не только выполнять простые функции коммутации, но и служить основой для построения схем автоматической блокировки, защиты, а также выполнять функции усилительных, преобразовательных (квантование по уровню) и исполнительных элементов в дискретных релейных системах автоматического регулирования.

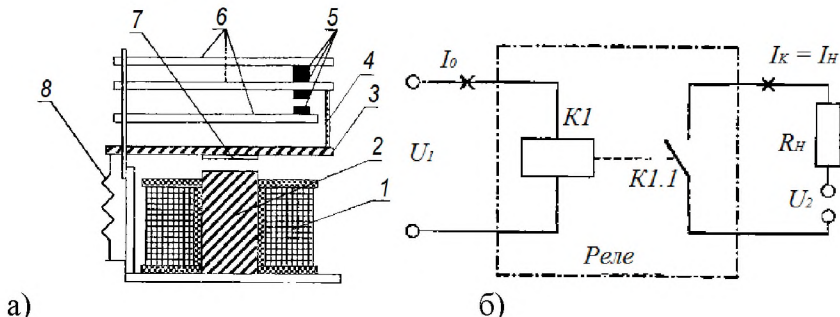
### 4.2. Устройство и принцип действия электромагнитных реле

По роду управляющего тока электромагнитные реле подразделяются на реле *постоянного и переменного тока*.

Электромагнитные реле постоянного тока конструктивно выполняют *якорными* или *безъякорными*. По характеру реакции на изменение полярности питающего напряжения эти реле могут быть *нейтральными* или *поларизованными*.

Устройство простейшего нейтрального якорного реле показано на рисунке 4.1а.

Принцип работы электромагнитных реле нейтрального типа основывается на притяжении стального якоря 3 к сердечнику 2. Сердечник находится внутри катушки 1, по которой протекает ток. Электромагнитное поле, создаваемое катушкой 1, взаимодействует с ферромагнитным материалом якоря 3, притягивает его к сердечнику 2, преодолевая при этом действие возвратной пружины 8 и контактных пружин 6. Через изоляционную стойку 4 якорь 3 воздействует на контактные пружины 6, замыкая или размыкая контакты 5.



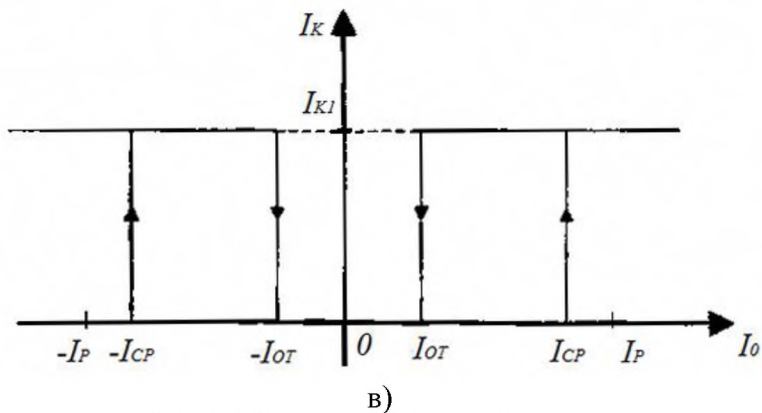


Рис. 4.1. Электромагнитное нейтральное реле:

а) конструкция; б) условное обозначение; в) статическая характеристика; 1 – катушка; 2 – сердечник; 3 – якорь; 4 – изоляционная стойка; 5 – контакты; 6 – контактные пружины; 7 – немагнитная прокладка; 8 – возвратная пружина

Для того, чтобы после выключения не было «залипания» якоря из-за остаточного намагничивания, на якоре укреплена немагнитная прокладка 7 из латуни или меди. Минимальный зазор между сердечником и якорем определяется толщиной этой прокладки  $\Delta = 0,07 \dots 0,10$  мм.

Минимальное значение тока и соответствующее ему напряжение, при котором происходит срабатывание, называются током  $I_{CP}$  и напряжением  $U_{CP}$  срабатывания.

Если после срабатывания реле уменьшать ток, протекающий по катушке, то при определенном его значении якорь, а значит, и контакты, возвращаются в исходное состояние (реле отпускает).

Максимальное значение тока и соответствующее ему напряжение, при котором происходит отпускание реле, называются током  $I_{OT}$  и напряжением  $U_{OT}$  отпускания.

Аналогично нейтральное реле работает и при пропускании тока через обмотку в другом направлении, лишь бы он превосходил по модулю ток срабатывания  $I_{CP}$ .

Принцип действия *поляризованных реле* основан на взаимодействии магнитного потока электромагнита с потоком постоянного магнита. Конструкция якорного поляризованного реле показана на рисунке 4.2.

Магнитный поток  $\Phi_0$ , создаваемый постоянным магнитом, разветвляется по обеим половинам магнитопровода на потоки  $\Phi_1$  и  $\Phi_2$ . Когда якорь 1 (рис. 4.2) находится в среднем положении, то потоки  $\Phi_1$  и  $\Phi_2$  и создаваемые ими тяговые усилия равны между собой.

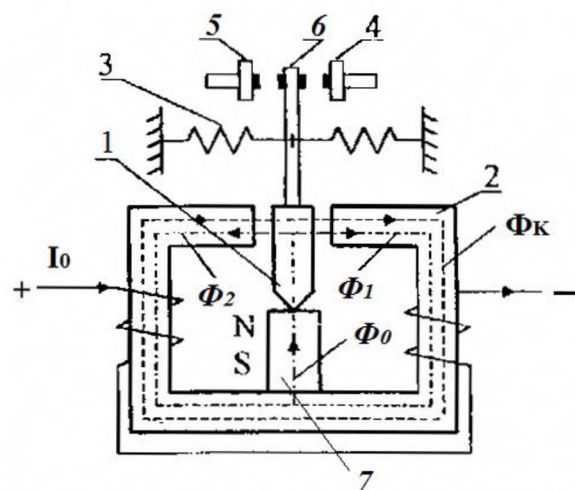


Рис. 4.2. Конструкция электромагнитного поляризованного реле:

1 – якорь; 2 – сердечник; 3 – возвратная пружина;  
4 и 5 – неподвижные контакты; 6 – подвижный контакт;  
7 – постоянный магнит

При прохождении тока по обмотке возникает магнитный поток  $\Phi_K$ . В одной половине магнитопровода электромагнитный поток, создаваемый током в обмотке, направлен навстречу потоку постоянного магнита, а в другой – совпадает с потоком магнита. Тяговое усилие, создаваемое суммарным потоком  $\Phi_K + \Phi_1$  превышает усилие, создаваемое пружиной 3 и суммарным потоком  $\Phi_K - \Phi_2$ , поэтому якорь притягивается к правому полюсу сердечника 2. Подвижный контакт 6 соединяется с контактом 4.

При изменении полярности тока в обмотке изменяется и направление магнитного потока  $\Phi_K$ . Это вызывает перемещение якоря в обратном направлении и, следовательно, размыкание контактов 4 и 6 и замыкание контактов 5 и 6.

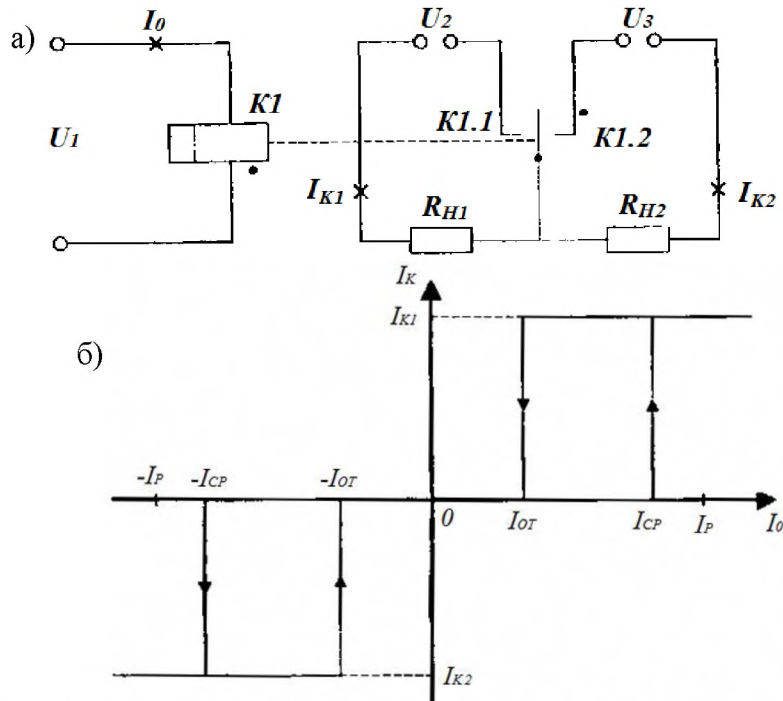


Рис. 4.3. Условное изображение (а) и статическая характеристика (б) электромагнитного поляризованного реле

В последнее время широкое распространение получили *безъякорные реле с магнитоуправляемыми контактами* (рис. 4.4).

Контакты 1 реле данного типа помещаются в герметизированный стеклянный баллон 3, наполненный инертным газом для исключения возможности их окисления (обгорания), поэтому такие реле часто называют *герконовыми* или просто *герконами* (герметизированные контакты).

Контакты выполняются из ферромагнитного материала и являются упругими элементами. При протекании тока достаточной величины ( $I > I_{CP}$ ) через катушку 2, за счет намагничивания самих контактных пластин 1 (без участия якоря), создаются силы притяжения и контакты замыкаются. При уменьшении тока до  $I < I_{OTP}$  под действием собственных упругих сил контакты возвращаются в исходное состояние.

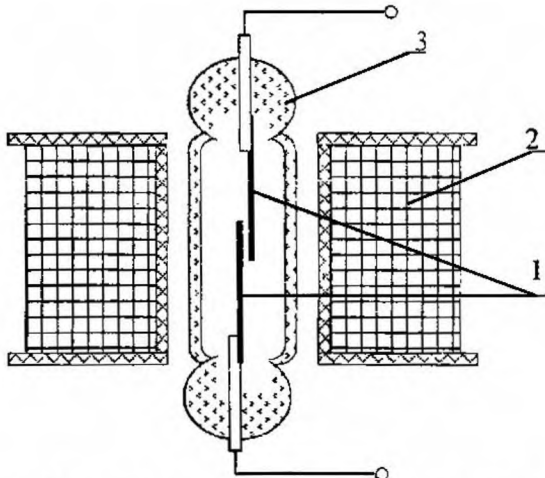


Рис. 4.4. Электромагнитное безъякорное реле с магнитоуправляемыми контактами (геркон): 1 – магнитные контакты; 2 – катушка; 3 – стеклянный баллон

Так работают нейтральные безъякорные реле. Введение в магнитную цепь герконового реле постоянного магнита позволяет получить поляризованное безъякорное реле.

Устройство и принцип действия электромагнитных реле переменного тока аналогичны нейтральным реле постоянного тока. Только для повышения надежности работы таких реле необходимо исключить возможность отлипания якоря от сердечника в моменты перехода напряжения через ноль, что реализуется введением в магнитную систему особого витка, расщепляющего общий магнитный поток.

На электрических принципиальных схемах (рис. 4.1б и 4.3а) электромагнитные реле обозначают в виде прямоугольника  $K1$  (катушка электромагнита) и kontaktов  $K1.1$ ,  $K1.2$  и т.д. (после точки – номер контактной группы). Механическую связь якорь-контакты (штриховая линия) на электрических схемах обычно не показывают.

#### 4.3. Основные характеристики и параметры электромагнитных реле

Электромагнитные реле можно рассматривать в качестве активного четырехполюсника, если цепь обмотки принять за вход (управляющая цепь), а цепь, в которую включены контакты, – за выход (управляемая цепь).

К основным характеристикам реле относятся статическая и динамические характеристики, а к параметрам коэффициент усиления по току, порог чувствительности, выходная мощность, время срабатывания и время отпускания.

*Статические характеристики* нейтральных и поляризованных реле изображены на рис. 4.1в и рис. 4.3б.

Они представляют зависимость тока контактов (нагрузки)  $I_K$  от тока обмотки  $I$  в статическом режиме.

Статическая характеристика показывает, что электромагнитное реле является нелинейным устройством и обладает гистерезисом. Ширина петли гистерезиса определяется *коэффициентом возврата*:

$$k_B = \frac{I_{OT}}{I_{CP}} \quad (4.1)$$

Для нелинейных устройств коэффициент передачи зависит от входного сигнала. Для практики важно знать коэффициент усиления по току, который имеет место для *рабочего тока* обмотки  $I_0 - I_P$

$$k_I = \frac{I_K}{I_P} \quad (4.2)$$

где  $I_P = k_{ЗАП} I_{cp}$  – рабочий ток гарантированного надежного срабатывания реле;  
 $k_{ЗАП} = 1,1 \dots 1,4$  – коэффициент запаса, зависящий от условий работы реле.

Порог чувствительности определяется мощностью срабатывания  $P_{CP}$  – минимальной мощностью, которую необходимо подвести к обмотке реле для его срабатывания:

$$P_{CP} = I_{CP} \cdot U_{CP} \quad (4.3)$$

Поляризованные и герконовые реле относятся к высокочувствительным,  $P_{CP} < 10$  мВт. У реле нормальной чувствительности мощность срабатывания  $P_{CP} = 1\dots5$  Вт, а у реле низкой чувствительности  $P_{CP} = 10\dots20$  Вт.

Габаритные размеры реле определяются главным образом мощностью, которую могут коммутиировать контакты реле -выходной мощностью  $P_{ВЫХ}$ :

$$P_{ВЫХ} = I_k^2 \cdot R_H \quad (4.4)$$

По величине этой мощности реле подразделяют на:

- сильноточные ( $P_{ВЫХ} > 500$  Вт);
- нормальной мощности ( $150$  Вт  $< P_{ВЫХ} < 500$  Вт),
- слаботочные реле автоматики и связи ( $P_{ВЫХ} < 50$  Вт).

Реле с  $P_{ВЫХ} > 100$  Вт называют контакторами.

Для исследования динамических свойств реле его математическая модель составляется, исходя из статической характеристики с учетом времени запаздывания в появлении выходного сигнала  $\tau_{31} = \tau_{CP}$  после подачи входного сигнала и, соответственно, времени запаздывания  $\tau_{32} = \tau_{отп}$  пропадания выходного сигнала при снятии входного.

Время срабатывания  $\tau_{CP}$  и время отпускания  $\tau_{отп}$  реле характеризуют его быстродействие. Их конкретная величина определяется переходными процессами в обмотке реле (рис. 4.5).

Время трогания реле можно определить по формуле:

$$\tau_{TP} = -T_1 \cdot \ln\left(1 - \frac{I_{TP}}{I_p}\right) \quad (4.5)$$

где  $I_{TP}$  – ток обмотки в момент трогания;

$T_1$  – постоянная времени при начальном зазоре  $\delta_0$ .

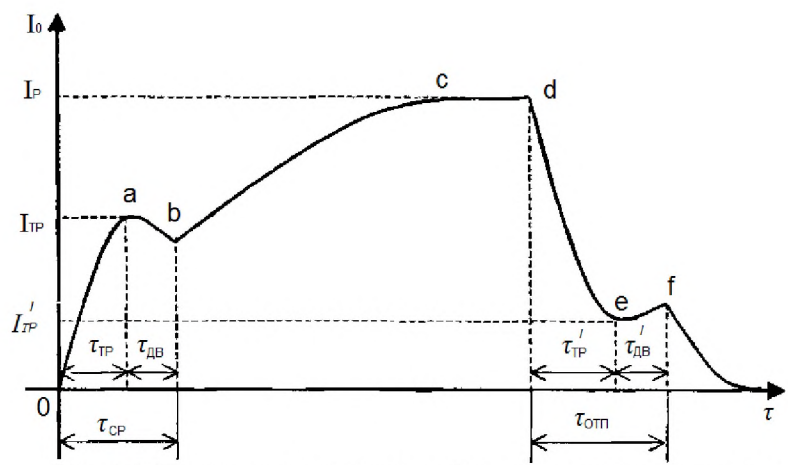


Рис. 4.5. Переходные процессы в обмотке электромагнитного реле

По переходному процессу (рис. 4.5) можно найти время срабатывания реле  $\tau_{CP}$  которое складывается из времени трогания при срабатывании  $\tau_{TP}$  и времени движения  $\tau_{ДВ}$  при срабатывании (от момента трогания до момента первого замыкания (размыкания) контакта):

$$\tau_{CP} = \tau_{TP} + \tau_{ДВ} \quad (4.6)$$

Обычно  $\tau_{ДВ} = (0,1\dots0,4) \tau_{TP}$ .

Для нахождения времени отпускания  $\tau_{OT}$  надо снять переходной процесс при размыкании цепи питания обмотки (участок  $de$  на рис. 4.5). Время отпускания будет равно:

$$\tau_{OTP} = \tau_{TP}^{\prime} + \tau_{DB}^{\prime} \quad (4.7)$$

где  $\tau_{DB}^{\prime}$  – время движения при отпускании от момента трогания до момента размыкания (замыкания) контактов;

$\tau_{TP}^{\prime}$  – время трогания при отпускании реле:

$$\tau_{TP}^{\prime} = T_2 \cdot \ln \left( 1 - \frac{I_p}{I_{TP}^{\prime}} \right) \quad (4.8)$$

По быстродействию (при  $\tau = \tau_{CP} = \tau_{OTP}$ ) реле можно разделить на безынерционные ( $\tau < 0,001$  с), быстродействующие ( $\tau < 0,05$  с), нормальные ( $0,05$  с  $< \tau < 0,015$  с) и замедленные ( $\tau > 0,15$  с).

Однако часто  $\tau_{CP} \neq \tau_{OTP}$  и по разным составляющим быстродействия реле могут попасть в разные классы.

Быстродействие электромагнитных реле можно изменять механическим и электрическим способами.

Первый из них заключается в изменении жесткости возвратной пружины или исходного расстояния между якорем и сердечником.

Второй в применении элементов, изменяющих постоянную времени обмотки реле, обладающей индуктивностью

Так, например, наличие добавочного резистора  $R_d$  (рис. 4.6а) при одновременном повышении напряжения питания обмотки приводит к ускорению срабатывания реле ( $\tau = L_0/R$ ). Шунтирование конденсатором этого резистора (рис. 4.6б) еще больше уменьшает время срабатывания. Включение же конденсатора параллельно обмотке (рис. 4.6в) позволяет увеличить время срабатывания и отпускания, т.е. уменьшить его быстродействие.

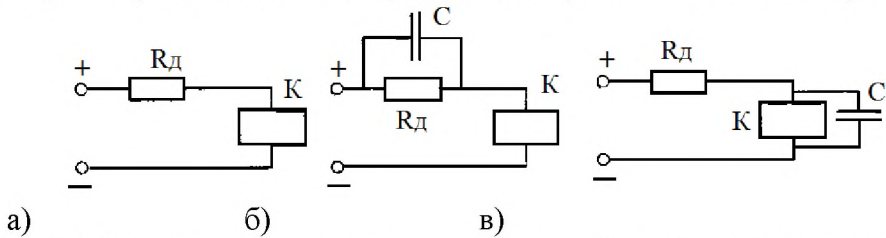


Рис.4.6. Электрические методы изменения быстродействия электромагнитных реле

#### 4.4. Описание лабораторного стенда

Лабораторная установка для проведения исследований реле состоит из специальной панели, которая обеспечивает набор электрических схем *A* и *B* (рис. 4.7).

Схема *A* позволяет снимать статические характеристики  $I_K=f(I_0)$  трёх реле различного типа ( $K1, K2, K3$  с соответствующими контактами  $K1.1, K2.1, K4.1$  и  $K4.2$ ).

Реле  $K1$  (РЭС-22) и  $K2$  (РЭС-9) – нейтрального типа, а реле  $K3$  (РПС5-30Я) – поляризованное трехпозиционное.

К схеме *A* относятся также:

- тумблер  $SA1$  – для подключения схемы *A1*;
- тумблеры  $SA2, SA3$  и  $SA7$  – для подключения соответствующих исследуемых реле;
- переключатель  $SA6$  – для изменения полярности питающего напряжения;
- потенциометр  $R_{II}$  – обеспечивает плавное изменение величины подводимого напряжения;
- индикаторные лампы  $HL1$  и  $HL2$ ;
- резистор нагрузки  $R_H$ ;
- балластный резистор  $R1$  для ограничения тока реле  $K3$ ;

– источник питания (ИП).

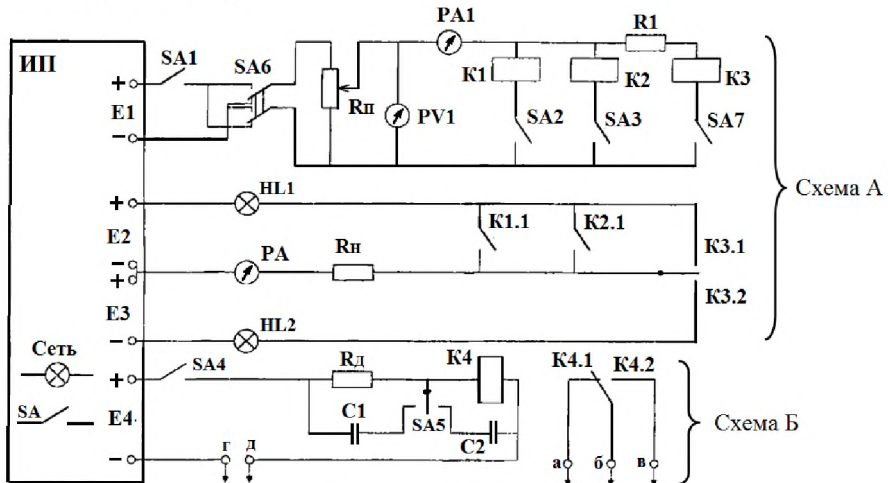


Рис. 4.7. Схема лабораторной установки

Токи, протекающие по обмоткам реле ( $I_{CP}$  и  $I_{OTP}$ ), измеряются амперметром  $PA1$ , а ток  $I_K$ , протекающий через контакты реле и нагрузку, - амперметром  $PA2$ . Напряжение, подводимое к обмоткам реле, измеряется вольтметром  $PV$ . Все указанные приборы являются универсальными цифровыми.

Схема Б позволяет определить временные параметры реле  $K4$  (РЭС-22) нейтрального типа и исследовать два способа изменения его быстродействия (рис. 4.6б и 4.6в).

В левом положении трёхпозиционный переключатель  $SA5$  подключает конденсатор  $C1$  параллельно добавочному резистору  $R_d$ , в правом положении конденсатор  $C2$  параллельно обмотке реле.

Время срабатывания и отпускания реле определяется с помощью измерителя временных параметров реле типа Ф291.

Для измерения используются следующие органы управления этого прибора:

- кнопочный переключатель «Режим»;
- выключатель питания реле «Пуск»;
- кнопка «СБР» (сброс).

Кнопочный переключатель «Режим» служит для выполнения коммутаций схемы прибора в зависимости от типа измеряемого параметра ( $\tau_{CP}$  или  $\tau_{OTP}$ ) и типа контактов (размыкающие или замыкающие) исследуемого реле.

Клеммы «г» и «д» схемы Б присоединяются к клеммам 1 и 2 источника питания ИП. Замыкающие  $K4.1$  или размыкающие  $K4.2$  контакты реле  $K4$  через гнезда «а», «б», «в» подсоединяются к клеммам 3 и 4 ИП.

В таблице 4.1 указаны положения органов управления установки в зависимости от измеряемого временного параметра и типа контактов.

Для измерения конкретного временного параметра необходимо сначала установить кнопку «Режим» в соответствующее положение (табл. 4.1).

Таблица 4.1

Измеряемые временные параметры	Положение органов управления		
	Переключатель «Режим»	Выключатель «Пуск»	
		исходное	конечное
1 Время срабатывания реле			
а) с размыкающими контактами (а,б)	2	Вниз	Вверх
б) с замыкающими контактами (б,в)	1	Вниз	Вверх
2.Время отпускания реле			
а) с размыкающими контактами (а,б)	4	Вверх	Вниз
б) с замыкающими контактами (б,в)	3	Вверх	Вниз

Затем поставить переключатель «Пуск» в исходное положение. Осуществить сброс показаний прибора кнопкой «СБР» и в последнюю очередь перевести переключатель «Пуск» из указанного в таблице исходного положения в конечное.

Измеритель параметров реле Ф291 работает следующим образом. Например, при измерении времени срабатывания реле с замыкающими контактами выключателем «Питание реле» подается напряжение к обмотке реле и одновременно запускается его миллисекундомер. При замыкании контактов реле происходит остановка миллисекундомера и на шкале индицируется время срабатывания.

#### 4.5. Порядок выполнения работы

1. Ознакомиться с принципом действия электромагнитных реле различного типа, расположенных на специальной подставке.

2. С помощью тумблера SA подключить измерительный стенд к сети, а тумблером SA1 включить схему А.

3. Заполнить таблицу 4.2 для трех реле K1..K3, подключая их по очереди тумблерами SA2, SA3, SA7 и изменения полярность напряжения, приложенного к обмоткам реле, переключателем SA6.

Таблица 4.2

Реле	Измеряемые величины					Расчетные величины				
	$I_{CP}$ , мА	$U_{CP}$ , В	$I_K$ , мА	$I_{OT}$ , мА	$U_{OT}$ , В	$I_P$ , мА	$k_B$	$P_{CP}$ , мВт	$P_{BKK}$ , мВт	$k_I$
	+E1	-E1	+E1	-E1	+E1	-E1	+E1	+E1	+E1	+E1
K1										
K2										
K3										

Для реле K3 в чистовик таблицы необходимо занести значения:

$$U_{CP} = U_I - I_{CP} \cdot R_I, \quad (4.9)$$

$$U_{OT} = U_I - I_{OT} \cdot R_I, \quad (4.10)$$

где  $U_I$  – напряжение, измеренное вольтметром PV;

$R_I = 10$  кОм.

4. Тумблером SA4 подключить схему Б. С помощью схемы Б измерить время срабатывания и отпускания реле K4 с замыкающими K4.1 и размыкающими K4.2 контактами для трех положений переключателя SA5.

С целью усреднения получаемых результатов каждое измерение повторять не менее трех раз. Данные измерений занести в таблицу 4.3

Таблица 4.3

Тип контактов	$\tau_{CP}$ , мс				$\tau_{OTP}$ , мс	
	Положение SA5					
	среднее	налево	направо	среднее	налево	направо
Реле с размыкающими контактами						
Среднее арифм. значение						
Реле с замыкающими контактами						
Среднее арифм. значение						

## 5. Обработка полученных результатов.

По данным таблицы 4.2 построить в масштабе статические характеристики трех реле  $K1...K4$ . Рассчитать основные параметры реле  $K1...K3$  ( $P_{вых}$  при  $R_H = 250 \text{ Ом}$ ) и занести их в таблицу 4.2. Рассчитать среднеарифметическое значение  $\tau_{CP}$  и  $\tau_{OTP}$  для всех опытов таблицы 4.4.

## 4.6. Содержание отчета

1. Цель работы.
2. Схемы, поясняющие принцип действия нейтральных и поляризованных реле.
3. Таблицы 4.2 и 4.3 с экспериментальными и расчетными величинами.
4. Статические характеристики реле  $K1...K4$ .
5. Выводы по чувствительности, мощности и быстродействию исследованных реле

## 4.7. Контрольные вопросы

1. Общее понятие о релейных устройствах. Область их применения в автоматических системах.
2. Классификация электромагнитных реле.
3. Принцип действия электромагнитных реле различного типа (нейтральных, поляризованных и герконовых).
4. Что такое статическая характеристика электромагнитных реле?
5. Дать определение основных параметров электромагнитных реле.
6. Оценка быстродействия электромагнитных реле и способы его изменения.